Analisa Tegangan dan Safety Factor Pada Design Poros Mesin Crusher Untuk HDPE Kapasitas 0.2646 Kg/min

Sandya Gilang Samudra a,1,* Oscar Haris b,2,

^{a,b} Politeknik Digital Boash Indonesia Jl. Letkol Atang Senjaya KM2, Kelurahan Bantarsari, Rancabungur, Kabupaten Bogor 16310

Diterima 02 April 2025; Direvisi 08 April 2025; Diterima 13 April 2025

ABSTRAK

Mesin *crusher* dan *extruder* untuk material jenis plastik HDPE digunakan sebagai mesin pengolah sampah plastik *high density polyethylene* (HDPE) untuk diproduksi menjadi pelet plastik. Dalam perancangan poros menjadi elemen penting dalam konstruksi mesin *crusher* untuk mentransmisikan daya Motor melalui pulley. Berdasar hasil perhitungan desain diameter poros adalah 30 mm dengan panjang 392 mm dan momen puntir poros adalah 6678.85 Kg.mm. Hasil *design*, tegangan dan safety factor di simulasi Finite Element Methode (FEM) Solidworks. Tujuan penelitian adalah menghindari kegagalan desain poros. Poros dengan material AISI 1045 adalah yang paling memenuhi syarat yang dibutuhkan dengan nilai *safety factor* 1.6675 dengan nilai maksimum tegangan diketahui 315,939,328 N/m²



KATA KUNCI

Perancangan Poros Simulasi Faktor Keamanan Tegangan

ABSTRACT

Crusher and extruder machines for HDPE plastic materials are used as high density polyethylene (HDPE) plastic waste processing machines to produce plastic pellets. In designing the shaft, it is an important element in the construction of the crusher machine to transmit motor power through the pulley. Based on the design calculation results, the shaft diameter is 30 mm with a length of 392 mm and the shaft torsional moment is 6678.85 Kg.mm. The design results, stress and safety factor in the Finite Element Method (FEM) Solidworks simulation. The research purposes is to avoid shaft design failure. The shaft with AISI 1045 material is the most suitable for the required requirements with a safety factor value of 1.6675 with a maximum known stress value of 315,939,328 N/m2



KEYWORD

Design Shaft Simulation Safety Factor Stress



This is an open-access article under the CC-BY-SA license

1. Pendahuluan

Poros merupakan suatu elemen mesin yang memiliki penampang berbentuk lingkaran yang bergerak dengan cara berputar, berfungsi meneruskan daya dari satu tempat ke tempat lainnya [3]. Dalam Penelitian ini, poros di rancangan untuk mesin *crusher* untuk sampah plastk *High Density Polyethylene* (HDPE) kapasitas 0.2646 Kg/min. Pada kondisi berputar, poros akan menghasilkan getaran karena pada sistem poros-rotor mengalami berbagai jenis beban dinamik yang bekerja pada arah radial, aksial dan torsi [2].

Banyak penelitian dilakukan tentang poros. Fajar Anggara (2020) telah menganalisis dan memvalidasi nilai faktor keamanan desain poros pada putaran kritis dengan material ST41. Dalam penelitiannya validasi terhadap besarnya penyimpangan untuk tegangan aktual hasil simulasi yaitu sebesar 1,1%, sedangkan untuk faktor keamanan dari poros ST 41 sebesar 0,9%. Dengan melihat hasil eror validasi dia menyatakan bahwa hasil simulasi dapat dinyatakan sangat baik. Dalam penelitian lainnya Riky Adhiharto, dkk (2025) melakukan penelitian analisa kegagalan poros roll pada mesin pelet kayu dengan metode re*design* IMRC. Dalam penelitian tersebut menyatakan bahwa poros *roll* pada mesin pelet kayu mengalami kegagalan, yaitu *crack* pada bagian kritis karena adanya beban berlebih yang ditahan oleh poros roll pada saat proses *pelletizing* kayu kina untuk ukuran tertentu.

¹ sandyagilangsamudra@gmail.com ² oscar.haris@pdbi.ac.id

Poros harus terlebih dahulu dianalisis faktor keamanannya, sebelum diaplikasikan secara langsung pada suatu sistem. Faktor keamanan berfungsi sebagai pengaman pada poros jika pada suatu keadaan poros tersebut menerima beban diluar atau melebihi dari perhitungan. Tujuannya agar struktur yang telah di desain tidak mengalami kegagalan [2]. Analisis kekuatan struktur dari persoalan suatu desain dapat diselesaikan menggunakan metode elemen hingga [4]. Simulasi analisis elemen hingga (Finite Element Analysis atau FEA) telah menjadi metode yang efektif untuk menganalisis kekuatan dan stabilitas struktur mekanik [5].

Dalam Penelitian ini, poros telah dirancang dengan perhitungan rancang poros Sularso & Suga (1978). Tegangan dan Safety factor dibandingkan dengan hasil Simulasi Finite Element Methode (FEM) dengan perangkat lunak Solidworks dengan beberapa jenis material yang digunakan. Pemilihan material dan perhitungan dimensi yang akurat juga memainkan peran penting dalam menentukan kemampuan mesin [6]. Tujuannya menganalisis selisih hasil perhitungan desain dan hasil simulasi, menganalisis variasi hasil simulasi dan selisih safety factor untuk mengantisipasi kegagalan design serta membandingkan dan menentukan material poros berdasarkan safety factor design yang dibuat.

2. Tinjauan Pustaka

2.1 Tegangan Geser

Tegangan geser yang diijinkan didapat atas dasar batas kelelahan puntir yang besarnya diambil 40 % dari batas kelelahan tarik yang besarnya mencapai 45 % dari kekuatan tarik σ_B (kg.mm²). Batas kelelahan putir dari kekuatan tarik adalah 18 % (Standard ASME), jadi faktor keamanan diambil 1/0.18 = 5.6. Harga 5.6 ini diambil untuk bahan *safety factor* dengan kekuatan yang dijamin, dan 6.0 untuk bahan S-C dengan pengaruh masa dan baja paduan. Dalam perencanaan poros perlu diperhatikan poros akan diberi alur pasak atau di buat bertangga, karena pengaruh konsentrasi tegangan yang besar dan pengaruh pengaruh lainnya seperti kekasaran permukaan. Pengaruh-pengaruh tersebut dinyatakan dalam symbol Sf_2 (faktor keamanan) dengan harga sebesar 1.3 sampai 3.0 [1]. Persamaan Tegangan geser yang dijiinkan:

$$\tau_a = \sigma_B / \left(S f_1 \times S f_2 \right) \tag{1}$$

Dimana: σ_B = Kekuatan tarik bahan poros (kg/mm²)

= Faktor keamanan yang tergantung pada jenis bahan, S45C-D besarnya 6.0 [1]

 Sf_2 = Faktor keamanan yang bergantung dari bentuk poros, berkisar antara 1.3 – 3.0 [1]

2.2 Poros

Poros merupakan salah satu bagian yang terpenting dari setiap mesin. Hampir semua mesin menggunakan poros sebagai penerus tenaga dan putaran. Peranan utama dalam transmisi seperti itu dipegang oleh poros [1]. Hampir semua mesin menggunakan poros sebagai penerus tenaga dan putaran [10]. Pada perencanaan poros untuk transmisi putaran pulley penggerak dan yang digerakan berturut-turut untuk Sabuk-V adalah n_1 (rpm) dan n_2 (rpm), dan diameter nominal masing-masing adalah d_b (mm) dan D_{p} (mm), serta perbandingan putaran dinyatakan dengan n_{1}/n_{2} atau d_{p}/D_{p} . Perbandingan yang umum dipakai i (i > 1) [1]. Momen puntir ditentukan dengan persamaan :

$$T = 9.74 \times 10^5 \frac{P_d}{n_1} \tag{2}$$

Dimana: P_d = Daya rencana (kW) n_1 = Putaran poros (rpm)

Diameter poros ditentukan dengan persamaan:

$$d_s \ge \left[\frac{5.1}{\tau_a} K_t C_b T\right]^{1/3} \tag{3}$$

Dimana: τ_a = Tegangan geser yang diizinkan (kg/mm²)

= Faktor koreksi tumbukan, harganya berkisar 1.5 – 3.0 [1]

 C_b = Faktor koreksi untuk terjadinya kemungkinan terjadinya beban lentur

T = Momen puntir yang ditransmisikan (kg.mm)

2.3 Safety Factor

Faktor keamanan adalah faktor yang digunakan untuk mengevaluasi kemanan suatu struktur, dimana kekuatan suatu bahan harus melebihi kekuatan sebenarnya[12]. Nilai tegangan pada tiap komponen dapat menunjukan faktor keamanan (*safety factor*) yang berbeda, terutama tiap komponen poros memiliki material yang berbeda pula. Sehingga nilai yield stress (tegangan luluh) material akan dibagi (dibandingkan) dengan working stress (tegangan yang bekerja) pada tiap komponen[14]. Safety Factor dinamis < Safety Factor dinamis izin, karena konstruksi yang dirancang tidak dapat menahan beban puntir yang sangat besar [10]. Untuk menghitung Safety Factor menggunakan rumus:

$$Safety Factor = S_Y / \sigma_e...(3)$$

Dimana: $S_Y = Yield strength (N/m^2)$

 σ_e = Tegangan Von Mises (N/m²)

2.4 Material

Pemilihan material dan perhitungan dimensi yang akurat juga memainkan peran penting dalam menentukan kemampuan mesin untuk mengatasi tekanan dari proses pemotongan. Material yang kuat dengan dimensi yang tepat akan memastikan distribusi tegangan yang merata pada seluruh bagian mesin, sehingga mengurangi risiko kegagalan structural [6]. Baja ASTM A36 merupakan jenis baja karbon rendah, angka '36' pada penamaan ASTM A36 merupakan nilai minimum dari *yield strength* baja yaitu sebesar 36 Ksi [8].

Table 1. Data Sheet Baja ASTM A36 [6]

Properties	Nilai
Elastic modulus	199 Gpa
Poisson's ratio	0.26
Mass density	7850 Kg/m3
Tensile strength	400 Mpa
Yield strength	250 Mpa

Baja AISI 1020 merupakan salah satu baja karbon rendah dengan unsur karbon kurang dari 3%, dan unsur kandungan lainnya seperti sulfur (S), fosfor (P), nikel (Ni), dan unsur kandungan lainnya yang bercampur dengan karbon [6].

Table 2. Data Sheet Baja AISI 1020 [6]

Properties	Nilai
Elastic modulus	205 Gpa
Poisson's ratio	0.59
Mass density	7870 Kg/m3
Tensile strength	440 Mpa
Yield strength	350 Mpa

Baja ST 37 atau setara dengan AISI 1045 dengan komposisi karbon (C) yang lebih rendah dibandingkan baja aisi 1020 dengan nilai maksimal kurang dari 1%, serta kandungan unsur lainnya yang lebih sedikit. Angka 37 pada ST37 bermakna kekuatan tarik sebesar 37 kg/mm2 atau sekitar 360-370 N/mm2 salah satu baja yang dihasilkan untuk pembuatan berbagai komponen permesinan [9].

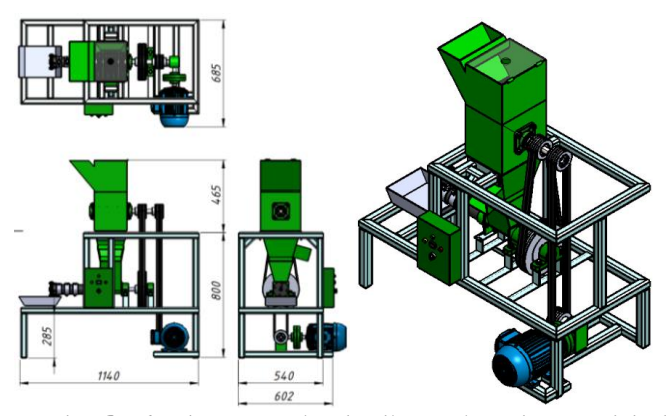
Table 3. Data Sheet Baja AISI 1045 [6]		
Properties	Nilai	
Elastic modulus	210 Gpa	
Poisson's ratio	0.28	
Mass density	7800 Kg/m3	
Tensile strength	360 Mpa	
Yield strength	235 Mpa	

2.4 Solidworks dan Finite Element

Solidworks merupakan perangkat lunak yang digunakan yaitu memakai Computer-aided design (CAD) yaitu solidworks. Solidworks merupakan pengembangan 3 dimensi dan 2 dimensi dengan menggunakan perspektif secara menjadi prototipe [7]. Analisis elemen hingga (FE) telah digunakan ekstensif dalam simulasi model karena kemampuannya untuk menyelesaikan rumit perilaku struktural menggabungkan non-linearitas suatu material dan geometri. Distribusi tekanan-tekanan dan lendutan yang berkembang perlu dianalisis. Finite Element Analysis (FEA) adalah teknik yang efektif dan murah yang telah digunakan secara luas untuk keperluan desain teknik. Finite element analysis (FEA) adalah metode yang kuat dan ekonomis yang telah digunakan secara luas untuk tujuan desain teknik [11].

Metodologi Penelitian

Dalam perancangan mesin crusher dan extruder untuk jenis material plastik HDPE dibutuhkan putaran (rpm) output yang rendah. Untuk mendapatkan putaran tersebut dibutuhkan motor listrik yang diperkecil kecepatan putarnya dengan gearbox sebagai sumber penggerak selanjutnya menggunakan pulley & belt sebagai transmisi penghubungnya. Motor penggerak yang digunakan harus mampu menggerakkan beban ketika proses berlangsung.



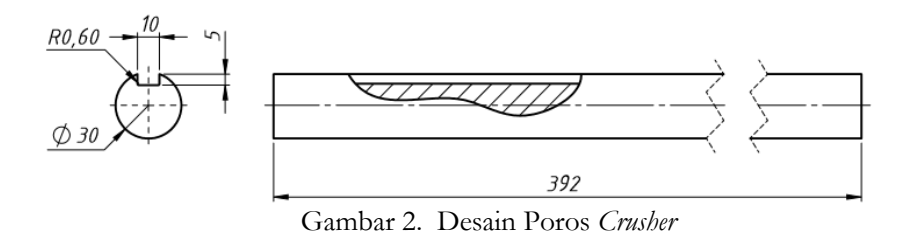
Gambar 1. Mesin Crusher dan Extruder Plastik untuk Jenis Material Plastik HDPE

Penelitian ini termasuk ke dalam penelitian kuantitatif, lebih tepatnya adalah eksperimental dengan jenis one factor designs [13]. Penelitian ini bertujuan untuk menganalisis deformation, stress serta safety factor. Poros di rancangan untuk mesin crusher untuk sampah plastik High Density Polyethylene (HDPE) kapasitas 0.2646 Kg/min. Proses analisis dilakukan melalui simulasi menggunakan perangkat lunak SolidWorks atau metode Finite Element Analysis (FEA) [6]. Karena penggunaan teknik FEA telah menjadi alat yang cukup mudah dan power full dalam teknik mesin untuk desain, maka FEA digunakan untuk pengujian semua model yang dibuat.

3.1 Perancangan Poros

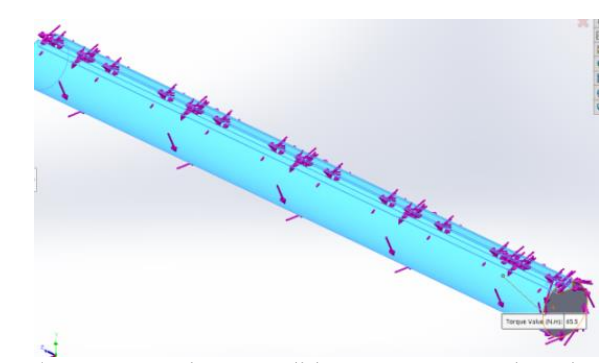
Hampir semua mesin menggunakan poros sebagai penerus tenaga dan putaran [1]. Poros digunakan pada unit crusher sebagai media tumpuan pisau pencacah dan pulley. Pada perencanaan mesin crusher untuk jenis material plastik HDPE digunakan motor listrik dengan daya 0.74 kW dengan kecepatan 1400 rpm. Poros menggunakan bahan S45C dan akan dibuat alur pasak dengan tujuan untuk memudahkan bongkar pasang mesin jika sewaktu-waktu diperlukan. Poros dibuat untuk mentransmisikan daya rata-rata yang diperlukan saat bekerja.

Perancangan diameter poros yang diuji berdasar perhitungan desain dengan material S45C atau AISI 1020 adalah 30 mm. Perancangan mengacu pada perancangan mesin dan element mesin Sularso Suga (1978). Material pembanding adalah AISI 1045 dan ASTM A36. Desain dibuat dan divisualisasikan dengan Solidworks. Panjang Poros beradasarkan kebutuhan mesin adalah 392 mm. Pemilihan material didasarkan pada safety factor. Faktor keamanan yang bergantung dari bentuk poros, berkisar antara 1.3 – 3.0. Faktor keamanan sebagai standard keamanan dalam penelitian ini diambil pada nilai yang paling tinggi yaitu 3.0.



3.2 Boundari Conditions

Prosedur defleksi beban statis menentukan perpindahan pusat setelah penerapan beban untuk menentukan kekakuan poros. Berdasar hasil perhitungan desain poros dalam penilitian ini tegangan geser adalah 3.2 Kg.mm² dan momen puntir yang dialami actual oleh poros adalah 6678.85 Kg.mm. Momen Puntir di input sebagai data simulasi yang diberikan pada 3D modeling poros yang dibuat. Fixed Geometry di atur pada kedua sisi profil poros kanan dan kiri. Kondisi ini menggambarkan kondisi kerja poros secara aktual. Kondisi ini juga menentukan bagaimana perilaku suatu desain poros yang sedang di analisa. Agar lebih jelas tegangan geser dan momen puntir disajikan dalam tabel 4.



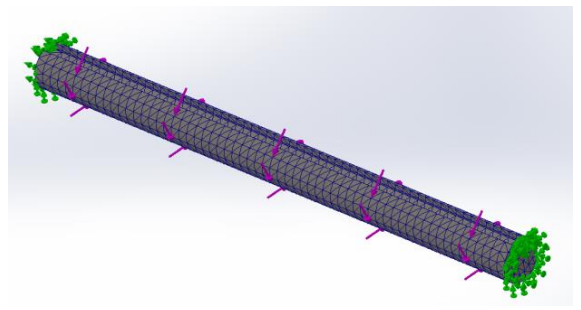
Gambar 3. Boundary Condition – Pre Processing Simulation

Table 4. Data Perhitungan Desain Poros

Table in Buttu I chinical Still B count I of ou		
Tegangan Geser	$T = 9.74 \times 10^5 \frac{P_d}{n_1}$	3.2 Kg.mm^2
Momen Puntir	$\tau_a = \sigma_B / (Sf_1 \times Sf_2)$	6678.85 kg.mm

3.3 Meshing

Untuk menganalisa suatu permodelan metode elemen hingga melakukan diskritisasi (meshing), yaitu dengan membagi struktur permodelan tersebut menjadi elemen-elemen kecil (elemen hingga) yang terhubung oleh titik-titik atau nodes yang dipakai oeleh elemen-elemen tersebut sebagai batas dari struktur objek[14]. Setelah proses modeling dan *pre-processing* seperti input nilai momen puntir serta pemilihan material selesai, maka dilakukan pengaturan *meshing*. Pada proses *meshing*, *software* mengkalkulasi elemen-elemen sesuai dengan ukuran mesh yang di atur dan menyesuaikan pada modeling poros. Solidworks membagi model poros dalam perhitungan komputasi menjadi elemen-elemen yang lebih kecil. Simulasi dilakukan dengan langkah umum *static simulation*. Parameter *mesh* diatur menjadi standard *mesh* dengan *mesh factor* untuk global *size* adalah 6.37mm dan toleransi *mesh* adalah 0.31 mm, parameter *mesh* ini ditetapkan untuk semua model poros yang akan disimulasi.



Gambar 4. Meshing Poros

4. Hasil dan Pembahasan

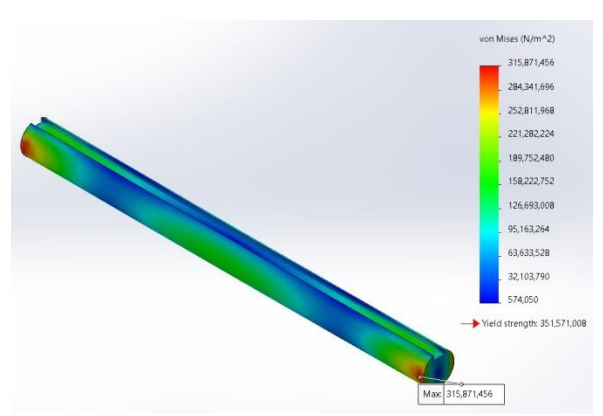
4.1 Von Misses Stress

Tabel 5 menunjukan nilai maksimum *von mises stress* untuk 3 jenis material pada poros yang dirancang. Hasil simulasi FEA menunjukan *von mises stress* untuk ketiga jenis material berbeda-beda. *Maximum von misses stress* untuk AISI 1020 adalah 315,871,456 N/m², *Maximum von misses stress* AISI 1045 adalah 315,939,328 N/m² dan *Maximum von misses stress* ASTM A36 adalah 321,944,640 N/m². Hasil simulasi *von misses stress* dan maximum *von misses stress* dipengaruhi oleh material properties material dan dimensi poros. Dimensi poros dalam penelitian ini adalah sama, yaitu 30 mm dengan panjang poros 392 mm. Dengan desain yang di buat pada poros ini, ketiga material diketahui dapat menahan beban / momen puntir yang dikenakan yaitu 6678.85 kg.mm. Titik kritis *maximum von misses stress* berdasar hasil simulasi diketahui berada pada ujung poros.

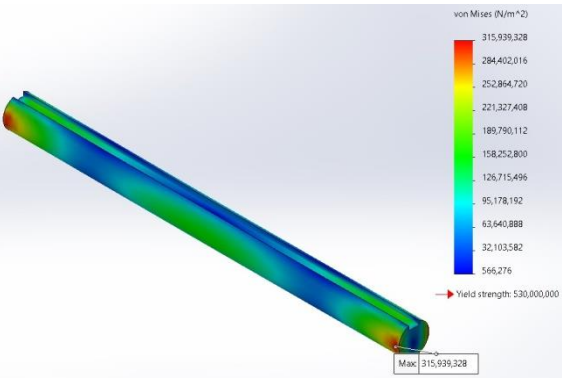
Table 5. Maximum Von Mises Stress

14016 51 11100 (0111011111 7 011 111000 501 000	
Material	Nilai
AISI 1020	315,871,456 N/m ²
AISI 1045	315,939,328 N/m ²
ASTM A36	321,944,640 N/m ²

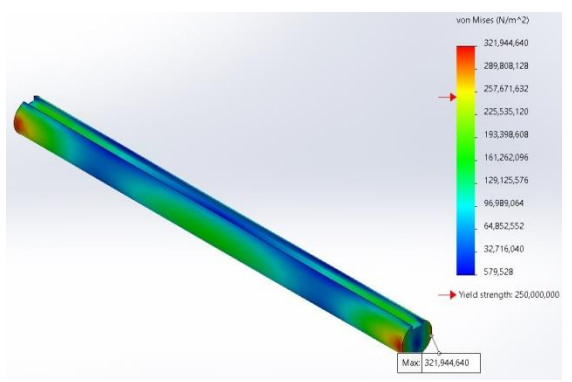
Pada gambar 5,6 dan 7 adalah hasil simulasi *von mises stress* Solidworks. Representasi warna pada gambar menunjukkan tegangan poros saat beban diterapkan. Semakin besar nilai tegangan, warna pada poros akan semakin memerah. Berdasar hasil simulasi, diketahui *Yield strength* AISI 1020 diketahui 351,571,008 N/m², *Yield strength* AISI 1045 diketahui 530,000,000 N/m² dan *Yield strength* ASTM A36 diketahui 250,000,000 N/m².



Gambar 5. Von Mises Stress AISI 1020



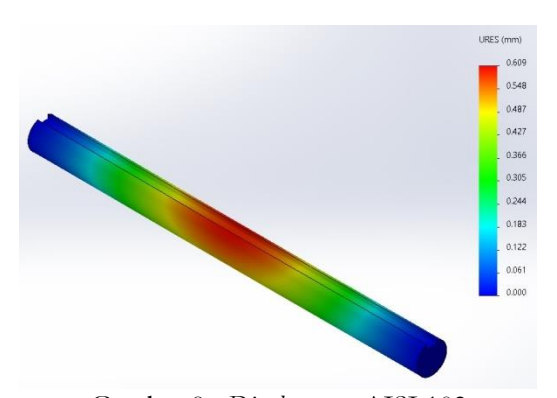
Gambar 6. Von Mises Stress AISI 1045



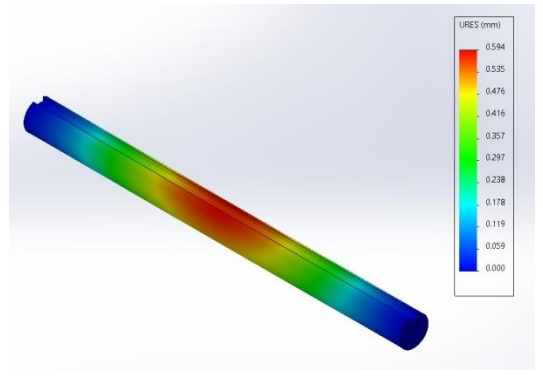
Gambar 7. Von Mises Stress ASTM A36

4.2 Displacement

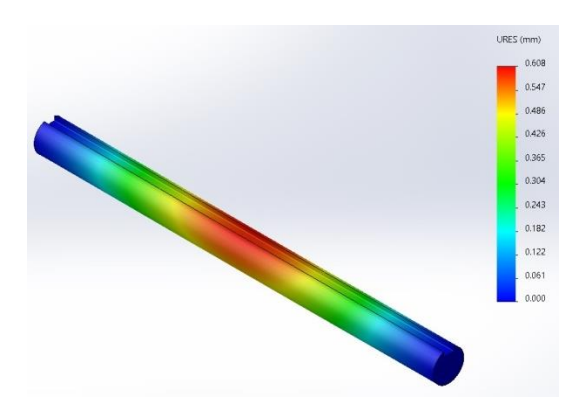
Representasi dan gradasi warna pada gambar 8, 9 dan 10 menunjukkan deformasi poros dengan momen puntir 6678.85 kg.mm. Berdasar hasil simulasi, diketahui displacement poros dengan material AISI 1020 adalah 0.609 mm, AISI 1045 adalah 0.594 mm dan ASTM A36 adalah 0.608. Dari ketiga gambar dibawah ini, dapat dilihat bahwa area displacement tertinggi ada pada bagian tengah poros. Dari perbandingan ketiga displacement AISI 1020 memiliki nilai displacement tertinggi, artinya poros mengalami pergeseran / perubahan sebesar 0.609 mm. AISI 1045 memiliki nilai displacement terendah. Sama seperti von mises stress, displacement dipengaruhi oleh properties material dan dimensi poros. Untuk meningkatkan jaminan ketahanan poros, dapat ditingkatkan dengan membesarkan dimensi diameter poros.



Gambar 8. Displacement AISI 102



Gambar 9. Displacement AISI 1045

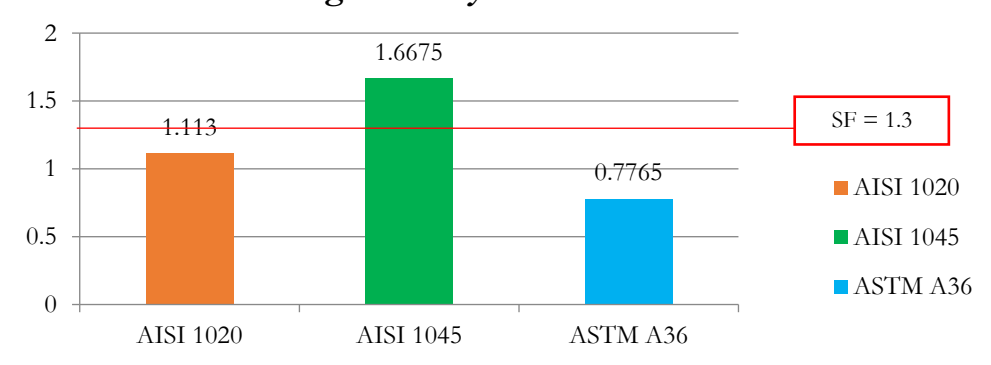


Gambar 10. Displacement ASTM A36

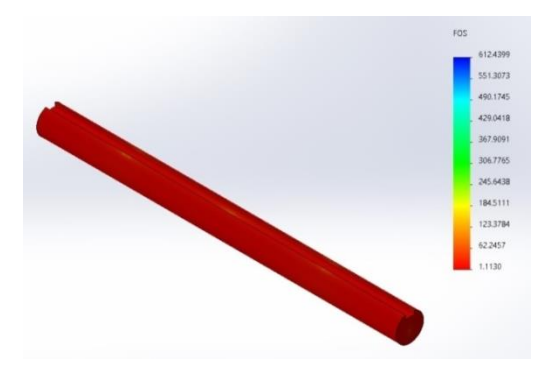
4.3 Safety Factor

Safety factor yang dijinkan dalam penelitian / perancangan poros ini adalah >1.3. Safety factor didapat dengan persamaan S_Y/σ_e yaitu yield strength dibagi dengan maximum von mises stress. Material yang digunakan dalam penelitian ini adalah berbeda, sehingga yield strength material juga berbeda. Perbadingan safety factor dari ketiga material disajikan dalam grafik Gambar 14. Berdasar hasil simulasi diketahui bahwa safety factor AISI 1020 adalah 1.113, safety factor AISI 1045 adalah 1.6675 dan safety factor ASTM A36 adalah 0.7765. Berdasar hasil perbandingan, yang paling memenuhi persyaratan poros crusher dalam penelitian ini adalah dengan menggunakan material AISI 1045 dengan safety factor 1.6675 > 1.3 (aman). Safety factor terendah adalah poros crusher dengan menggunakan material ASTM A36. Diketahui bahwa yield strength AISI 1045 adalah 530,000,000 N/m², jauh lebih besar dari AISI 1020 dan ASTM A36. Faktor ini yang membuat safety factor AISI 1045 lebih tinggi dari material lainnya.

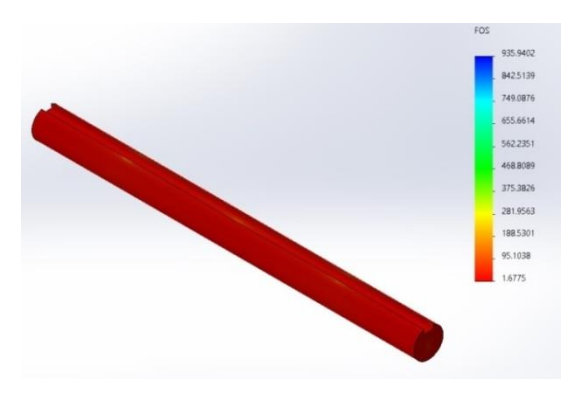
Perbandingan Safety Factor Poros



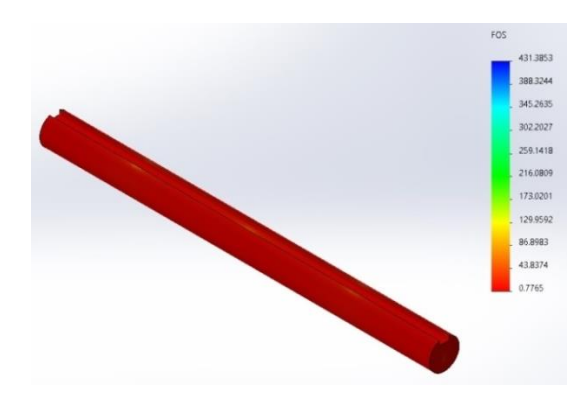
Gambar 11. Perbandingan Safety Factor



Gambar 12. Safety Factor AISI 1020



Gambar 13. Safety Factor AISI 1045



Gambar 14. Safety Factor ASTM A36

5. Penutup

5.1 Kesimpulan

Poros *crusher* yang dirancang dengan material AISI 1045 adalah yang paling memenuhi syarat yang dibutuhkan untuk mesin *crusher* HDPE dengan kapasitas 0.2646 Kg/min dengan nilai *safety factor* 1.6675 > 1.3 (aman). Hasil simulasi dari ketiga model yang diuji, menunjukan hasil *stress, displacement* dan *safety factor* yang berbeda-beda. Dari ketiga hasil semulasi, diketahui bahwa *properties* material *yiled strength* sangat berpengaruh terhadap hasil simulasi statis *Finite Elemnent. Physical properties* material dalam perencanaan produk menjadi faktor kunci perbaikan produk, khususnya untuk perbaikan nilai *von mises stress, displacement* dan *safety factor*. Semakin besar nilai *yield strength* material, maka *safety factor* dalam simulasi statis akan semakin baik. Ini dapat menjadi solusi praktis *engineer* dalam menyelesaikan suatu masalah dalam rancang bangun mesin yang menggunakan poros

5.2 Saran

Untuk meningkatkan jaminan kualitas desain poros, dapat dilakukan dengan pemilihan material dengan *yield strength* yang lebih baik / tinggi atau dengan memperbesar diameter poros. Validasi antara

perhitungan actual desain dan simulasi sangat disarankan untuk dibandingkan untuk menganalisa potensi kegagalan *design*. Diameter poros yang terlalu besar dapat meningkatkan berat poros, oleh karena itu perlu dalam perancangan desian poros dan optimasi *design* harus merujuk pada sumber literature dan standard. Penelitian lebih lanjut disarankan untuk analisis dinamis poros karena beban tumbukan berat pisau *crusher* yang berputar.

Daftar Pustaka

- [1] Sularso dan Kiyokatsu Suga, "Dasar Perencanaan dan Pemilihan Elemen Mesin", Pradnya Paramita. 2002, Jakarta.
- [2] Fajar Anggara, "Validasi Nilai Simulasi Faktor Keamanan Pada Putaran Kritis Poros ST41", Quantum Mekanika, 2020, Vol. 2, No. 1, pp. 32-37
- [3] Bakic, Gordana M. dkk, "New Methodology for Monitoring and Prevention of Rotating Parts Failure", FME Transactions, 2007, 35, 195-200
- [4] M Edi Pujianto, Muhammad Subri, A.R.S, "Analisa Kekuatan Rangka Automatic Potato Cutting Machine Frame Menggunakan Simulasi Solidworks", publikasiilmiah.unwahas, 2023, 19, pp. 50–57.
- [5] Dumyati, I. and Nurhaji, S, "Modeling dan Simulasi Finite Element Analysis pada Segitiga T Sepeda Motor Menggunakan Sofware Ansys", Quantum Teknika: Jurnal Teknik Mesin Terapan, 2023, 5(1), pp. 26–30.
- [6] Higan Pilargenta, dkk, "Analisa Faktor Keamanan Pada Desain Alat Die Cut Menggunakan Simulasi Finite Element Analysys", TESME, 2024, Vol. 1 No. 1. Pp 144-155
- [7] Aminuddin, R.R., Santoso, A. wibawa B. and Yudo, H, "Jurnal Teknik Perkapalan 37 sebagai Bahan Poros Baling-baling Kapal (Propeller Shaft) setelah Proses Tempering", Jurnal Teknik Perkapalan, 2020, 8(3), pp. 368–374.
- [8] Feulvarch, E., Roux, J.-C. and Bergheau, J.-M, "A simple and robust moving mesh technique for the finite element simulation of Friction Stir Weldi", Journal of Computational and Applied Mathematics, 2013, 246, pp. 269–277.
- [9] Firmansyah Azharul, dkk, "Menghitung Tegangan Statik Pada Struktur Rangka Sepeda Bmx Menggunakan Software Catia", *TEKNOSAINS: Jurnal Sains, Teknologi dan Informatika*, 2020, 7(2), pp. 67–76.
- [10] Ricky Adhiharto, dkk, "Analisis Kegagalan Poros Roll pada Mesin Pelet Kayu Dengan Metode ReDesign IMRC", Jurnal Teknologi Terapan, 2025, Vol. 11 No.1
- [11] Sandya. G. S dan Moh. Yamin, "Perancangan dan Analisis Statis Ban Tanpa Udara (Airless Tire) Untuk Ukuran 165/60 R12", Jurnal Teknologi, 2021, Vol. 13 No. 1
- [12] Imran A. I, "Simulasi Tegangan Von Mises dan Analisa Safety Factor Gantry Crane Kapasistas 3 Ton," J. Tek. Mesin, 2017, Vol. 8, No. 2
- [13] J.W Dika, dkk, "Analisis Deformation, Stress, dan Safety Factor pada Geometric Properties Crane Hook", Jurnal Transmisi, 2022, Vol. 18 No. 1
- [14] Mahendra Guna, dkk, "Studi Analisis Kekuatan Poros Propeller Kapal KMP. Pertiwi Nusantara Akibat Dikenai Torsi Dari Propeller", Jurnal Teknik Perkapalan, 2019, Vol. 7. No. 1